

بررسی رفتار قاب خمی فولادی با اتصال‌های صلب کوتاه‌مرتبه به هنگام زلزله در دو حالت آسیب‌دیده در آتش پیش از زلزله و آتش‌سوزی پس از زلزله

محمد رضا درودی* (دانشجوی کارشناسی ارشد)

فریبرز ناطقی‌الهی (استاد)

امیرحسین حسنی (دانشجوی دکتری)

بزوہشگاه بین‌المللی زلزله‌شناسی و مهندسی زلزله

بارگذاری آتش‌سوزی و زلزله به عنوان دو تهدید جدی در ساختهای هستند، که این‌تی جانی ساکنان را تهدید می‌کنند. مطالعات زیادی راجع به تأثیر بارهای لرزه‌بی در سازه‌ها انجام شده است، اما مطالعات کمی در مورد تأثیر هم‌زمان تهدیدهای مذکور به خصوص آتش‌سوزی قبل از رخداد زلزله انجام شده است. از طرفی، ساختهای زیادی وجود دارند که بعد از رخداد آتش‌سوزی همچنان بدون مقاوم‌سازی خاصی استفاده می‌شوند و مانند سازه‌های سالم تحت اثر زلزله‌های آتشی قرار می‌گیرند. در پژوهش حاضر، رفتار قاب خمی فولادی در دو حالت آسیب‌دیده در آتش‌سوزی پیش از زلزله و آتش‌سوزی پس از زلزله بررسی شده است. سازه مطابق با ویرایش سوم استاندارد ۲۸۰۰ طراحی و ۱۰ سانتاریو آتش‌سوزی برای تحلیل حرارتی در نظر گرفته شده است. نتایج پژوهش نشان دادند که در حالت آتش‌سوزی پیش از زلزله، در صورتی که سازه بیشینه‌ی دمایی، که طبق منحنی EuroCode در سنتاریوهای مختلف آتش‌سوزی تجربه کرده است، در محدوده منحنی درجه سانتی‌گراد باشد، پس از بارگذاری لرزه‌بی پایدار خواهد بود. در حالت آتش‌سوزی پس از زلزله، بیشینه‌ی دمای پایداری، طبق منحنی ISO ۸۳۴ پس از بارگذاری لرزه‌بی در سنتاریوهای مختلف آتش‌سوزی، در محدوده ۶۰°-۸۰° درجه سانتی‌گراد قرار دارد. در حالت اول، با افزایش دما از ۶۰° درجه سانتی‌گراد با کاهش سختی و مقاومت فولاد، و در حالت دوم در دمایی بین ۶۵°-۸۰°، خیز تیرها به سمت پایین افزایش یافته‌اند.

mr.dorudi@iiees.ac.ir
nateghi@iiees.ac.ir
amirhosein.hasani88@gmail.com

واژگان کلیدی: سیستم قاب خمی فولادی، زلزله، سنتاریوهای آتش‌سوزی، پایداری.

۱. مقدمه

در ۶ ماهه‌ی نخست سال ۱۳۹۸، مرگ‌های ناشی از سوختگی در ایران غریب به ۱۰۰۰ نفر بوده است که بخش بزرگی از آتش‌سوزی‌های صورت گرفته مربوط به مسکونی مسازی بوده است.

ضوابط ارائه شده در آئین‌نامه‌ها برای طراحی سازه در برابر آتش، بر روی عضو انجام می‌شود؛ حال آنکه در سازه‌ی واقعی به دلیل بازتوzیع بار، اندرکنش اعضا با یکدیگر و نحوه‌ی اتصال اعضا، ضوابط متفاوت است و نتایج آزمایش‌های تمام‌مقیاس آتش‌سوزی، که بر روی یک ساختمان ۸ طبقه‌ی فولادی کامپوزیت در آزمایشگاه مطالعاتی کاردهستگون در بریتانیا (۱۹۹۶) انجام شده است، نشان می‌دهد زمانی که اعضاء مذکور، سازه را تشکیل می‌دهند، عملکرد بهتری از خود نشان می‌دهند. با

زلزله‌های نورث‌ریچ^۱ امریکا (۱۹۹۴) و کوبه^۲ ژاپن (۱۹۹۵)، باعث شکست در خطوط انتقال گاز شهری، آسیب به شبکه‌ی برق رسانی و به دنبال آن وقوع آتش‌سوزی‌های گستره و انفجارهای مهیبی در سطح شهر و نیز کشته، زخمی و بی‌خانمان شدن هزاران نفر شده‌اند. آتش‌سوزی در ساختمان، پیش از وقوع زلزله نیز می‌تواند به صورت سهولی یا عمده، از جمله اشکال در تأسیسات مکانیکی و برقی، نگهداری نادرست از مواد قابل اشتغال، آشوب‌های اجتماعی و ... رخ دهد.

* نویسنده مسئول
تاریخ: دریافت ۱۴۰۰/۹/۱، اصلاحیه ۷/۴/۱۴۰۱، پذیرش ۲۰۱۵/۱/۱۴۰

DOI:10.24200/J30.2022.59237.3036

تحلیل‌های عددی و آزمون‌های تجربی نشان دادند که اتصال‌های کامپوزیتی طراحی شده برای آتش یا زلزله به طور جداگانه نمی‌توانند کمیته‌ی مقاومت مورد نیاز تحت آتش‌سوزی پس از زلزله را براورده سازند. آن‌ها سپس پیشنهاد دادند که کمیته‌ی مقاومت ۱۵ دقیقه‌ی باید در مورد آتش‌سوزی پس از زلزله ارائه شود و براین اساس یک روش طراحی پیشنهاد دادند.^[۷]

مرادی^۸ و همکاران (۲۰۲۰)، نیز در مقایسه‌ی دوام قاب‌های بتقی و فولادی تحت ستاری‌وهای آتش‌سوزی و آتش‌سوزی بعد از زلزله، ابتدا قاب‌ها را تحت بارگذاری حرارتی قرار دادند و هدایت گرمایی قاب‌ها را مقایسه کردند. سپس قاب‌ها را تحت بارگذاری آتش‌سوزی و آتش‌سوزی بعد از زلزله قرار دادند و نتایج مطالعات ایشان نشان داد که در قاب‌های بتقی به دلیل کاهش مقاومت و ایجاد ترک‌ها به دلیل بار لرزه‌یی، دوام قاب‌ها در آتش‌سوزی بعد از زلزله کاهش قابل توجهی داشته است، اما در قاب‌های فولادی، تأثیر اشاره‌شده قابل توجه نبوده است.^[۸] سواند^۹ و همکاران (۲۰۱۸)، در بررسی تأثیر زلزله در رفتار قاب‌های کامپوزیت فولادی در هنگام آتش‌سوزی نتیجه گرفتند که زلزله باعث کاهش مقاومت قاب‌های کامپوزیت در برابر آتش‌سوزی می‌شود.^[۹] عبدالله‌زاده و شالیکار (۲۰۱۷)، نیز با استفاده از تحلیل دینامیکی برای قاب‌هایی که قبلاً تحت آتش دچار ریزش پیشرونده شده بودند، اثر مقاومت‌سازی قاب خمثی فولادی با مهاربندهای X و واگرای V را بررسی کردند و دریافتند که قاب خمثی بدون مهاربندی، فاقد مکانیزمی مؤثر برای انتقال بار از اعضاء شکست‌خورده به اعضاء مجاور و فروپختن کامل قاب به دلیل عمل چرخشی تحت بارگذاری آتش در دهانه‌ی مرکزی آن است. در حالی که با ترکیب سیستم مهاربندی خرپایی و سیستم مهاربندی عمودی، می‌توان مسیوهای جیدی برای توزیع مجدد نیروهایی که توسط ستون‌های شکست‌خورده در قاب شکل می‌گیرد، ایجاد کرد.^[۱۰]

همچنین خوانساری^{۱۰} و همکاران (۲۰۱۸)، یک مدل سه‌بعدی نیمه‌مقیاس را آزمایش کردند، که شامل قاب‌های خمثی مجهز به اتصال‌های صفحه‌ی انتهایی در یک جهت و قاب‌های مهاربندی شده در سمت دیگر بوده است که در معرض آتش‌سوزی استاندارد ISO ۸۳۴ قرار گرفته است. پیشنهای دمای به دست آمده، ۱۰۵۵ درجه سانتی‌گراد بود و نتایج نشان داد که سازه برای مدت زمان قابل توجهی قبل از ریزش، دمای‌های بالا را تحمل می‌کند. علاوه‌بر این، برای صفحات انتهایی ضخیم که ایشان مطالعه کرده‌اند، فروپاشی با شکست پیچ آغاز شده است، که باعث ایجاد ایندهی استفاده از پیچ‌های قوی‌تر و صفحات انتهایی ضعیف‌تر برای به تأخیر انداختن فروپاشی کلی سازه شده است.^[۱۱]

با توجه به مطالعات پیشین، راجع به آتش‌سوزی و زلزله مشاهده شد که در خصوص سازه‌های فولادی که پیش از زلزله، آتش‌سوزی را تجربه کرده‌اند و هم اکنون برای بارهای قلقلی، قابلیت بهره‌برداری را دارند، مطالعه‌یی صورت نگرفته و مطالعات اندکی در این زمینه بر روی اعضاء بتقی صورت گرفته است. از طرفی، در پژوهش‌های پیشین، رفتار کلی سازه تحت ستاری‌وهای محدود آتش‌سوزی بررسی و مکتر به سیستم سازه‌یی قاب‌های خمثی با دهانه‌ها و ارتفاع طبقات متفاوت توجه شده است. همچنین در آین‌نامه‌های داخلی نیز پیشتر سازه‌ها برای بارهای قلقلی و لرزه‌یی طراحی شده و آثار آتش‌سوزی در طراحی‌ها لحاظ نشده است. با توجه به خلاصه مطالعاتی در این زمینه، پژوهش حاضر با هدف ارزیابی سازه‌های فولادی به هنگام زلزله در دو شرایط آسیب‌دیده در آتش پیش از زلزله و آتش‌سوزی پس از زلزله انجام شده است. به همین منظور، یک ساختمان^{۱۲} طیقه‌ی فولادی با آین‌نامه‌های داخلی، طراحی و رفتار آن تحت ستاری‌وهای مختلف آتش و خرابی در اجزاء سازه بررسی شده است.

وجود اینکه در انتهای آزمایش اخیر، فقط ۳٪ از مقاومت اعضا باقی مانده است، اما سازه هنوز دچار فروریزش نشده است.^[۱۳]

حسام^{۱۴} و همکارانش (۲۰۰۴)، در مطالعه‌یی بر روی مدل‌های عددی و آزمایشگاهی بر روی قاب‌های فولادی یک‌طبقه و چنددهانه که در معرض آتش پس از زلزله قرار گرفته بودند، المان‌های محافظت نشده را در تحلیل خود در نظر گرفتند. با این حال، هر دهانه توسعه پوشش‌های ضدحریق برای کاهش خسارت در آتش‌سوزی محافظت شد. پوشش‌های ضدحریق مذکور برای کنترل آتش در داخل محفظه و برای جلوگیری از گسترش به سایر بخش‌ها اختصاص یافت و نشان داد که نوع خرابی، فروریزش به سمت داخل یا بیرون، مقاومت مدل‌ها تا حد زیادی وابسته به ستاری‌وهای آتش‌سوزی و بارهای قلقلی هستند.^[۱۵] دلاکورته^{۱۶} و همکارانش (۲۰۰۵)، در مطالعه‌یی سازه‌های فولادی قاب خمثی در برابر آتش‌سوزی پس از زلزله، به بررسی تأثیر زلزله به صورت تغییرشکل‌های ماندگار در قاب‌ها پرداخته‌اند. آسیب مکانیکی نیز به صورت کاهش مدول کشسانی و تنش سلسیل برخی از قسمت‌های سازه در نظر گرفته شده و تأثیر آتش به صورت تحلیل ترمومکانیک در مدل سازی اعمال شده است. نتایج به دست آمده نشان داده است که فلسفه‌ی طراحی لرزه‌یی سازه‌های فولادی قاب خمثی، تأثیر چشمگیری در عملکرد سازه به هنگام آتش‌سوزی پس از زلزله داشته است.^[۱۷] زهاریا و پیتنا^{۱۸} (۲۰۰۹) در مطالعات بیشتر بر روی قاب‌های فولادی، دو قاب فولادی مختلف طراحی شده برای دوره‌های بازگشت ۲۴۷۵ و ۴۷۵ ساله را بررسی و سپس پاسخ لرزه‌یی هر سازه به تحلیل بازفروزن که توسط فاجر^{۱۹} (۱۹۹۶) طراحی شده بود، را ارزیابی کرده‌اند. اگرچه قاب طراحی شده برای دوره‌یی بازگشت ۲۴۷۵ ساله در تحلیل پوش آور کشسان باقی مانده بود، اما قاب ضعیف‌تر طراحی شده برای دوره‌یی بازگشت ۴۷۵ ساله، دریفت میان‌طبقه‌ی قاب ملاحظه‌یی را متحمل شده است. سپس آن‌ها تحلیل آتش‌سوزی را بر روی هر دو قاب انجام دادند، که تأیید می‌کرد مقاومت در برابر آتش سازه‌ای که تغییرشکل ماندگار تحت زلزله داشتند، از سازه‌هایی که تغییرشکل قبلی پیش از اعمال آتش نداشته‌اند، کمتر بوده است.^[۲۰] بهمن و رونق (۲۰۱۴)، رفتار سازه‌های بلندمرتبه‌ی قاب خمثی فولادی در معرض یک آتش‌سوزی بعد از زلزله را، که به سمت بالا گسترش می‌باشد، بررسی کردند و دریافتند که قاب‌های تحت حرارت با ۵ دقیقه زمان تأخیر انتقال و گسترش به دیگر طبقات، نسبت به قاب‌های با زمان تأخیر ضخیم که ایشان مطالعه کرده‌اند، همچنین ملاحظه کردند که قاب‌های در معرض آتش‌سوزی با ۵ دقیقه تأخیر، در فاز گرم‌شدن منحنی آتش، گسیخته و خراب شدند، ولی در قاب‌های با ۲۵ دقیقه تأخیر در فاز سردشدن منحنی آتش، دچار فروریزش شدند.^[۲۱]

کاظمی و همامی (۱۳۹۴)، نیز در طراحی براساس عملکرد ساختمان‌های قاب خمثی فولادی با درنظر گرفتن آتش‌سوزی پس از زلزله، دو قاب ۳ و ۹ طبقه را در نرم‌افزار OpenSees مدل سازی کردند و تحت اثر ستاری‌وهای مختلف آتش قرار دادند. آن‌ها دریافتند که با قرار گرفتن سازه در معرض آتش و درنتیجه کاهش سختی و مدول کشسانی فولاد، زمینه‌ی بازتوزی گستاور خمثی در سازه فراهم می‌شود که نتیجه‌ی آن افزایش تعداد مفاصل خمیری و درنهایت نایابداری سازه است. همچنین متوجه شدند که در اثر آتش‌سوزی در طبقات پایین تر و درنتیجه‌ی آن کاهش سختی، طبقات مذکور به سازه اجازه‌ی تغییرمکان بیشتری را می‌دهند. بنابراین در حالت کلی، میران خسارت هنگامی که آتش در طبقات پایین تر قرار دارد، بیشتر از هنگامی است که موقعیت قرارگیری آتش در طبقات بالاتر باشد.^[۲۲] در سال ۲۰۱۱، پاکینوتی^{۲۳} و همکارانش، عملکرد اتصال‌های کامپوزیت فولاد - بتن را هنگامی که تنش‌های لرزه‌یی و به دنبال آن بارهای آتش ایجاد شدند، را بررسی کردند و با استفاده از

در نرم افزار OpenSees مدل سازی شده است. بارگذاری ثقلی و جانبی برای قاب مذکور مطابق با توزیع بار در نرم افزار ETABS انجام شده است. آنار مرتبه دوم بارهای ثقلی (P) نیز در تحلیل لحاظ شده است.

مصالح استفاده شده در مدل سازی ذکر شده، فولاد حرارتی (Thermal) ۱ (Steel^۰) بوده است، که مقاومت و مدول کشسانی آن با افزایش دما کاهش می یابد.^[۱۴] برای تعریف مقاطع تیرها و ستون ها از فایبرهای حرارتی (Fiber Thermal) و برای تعریف المان های تیرسنتون حرارتی (DispBeam Thermal Column) استفاده شده است. همچنین برای بالا بردن دقت تحلیل ها، هر یک از المان های تیر و ستون به ترتیب به ۶ و ۸ المان کوچک تر تقسیم شده اند. همچنین در مدل های اخیر، اتصال های تیرها به ستون ها مدل سازی نشده و فرض شده است که تیرها و ستون ها با گره صلب به یکدیگر متصل شده اند. در تحلیل ها، توزیع دما و درجه حرارت در طول المان ها و در امتداد مقاطع عرضی و فایبرهای تیرها و ستون ها یکسان و ثابت در نظر گرفته شده است. تحلیل های حرارتی به صورت غیرخطی و از نوع نیرو - کنترل با استفاده از منحنی آتش پارامتری ISO ۸۳۴^[۱۵] برای حالت آتش سوزی پیش از زلزله و منحنی آتش EuroCode^[۱۶] برای حالت آتش سوزی پس از زلزله انجام شده است. منحنی پارامتری EuroCode مطابق با رابطه های ۱ الی ۱۰، از دو فاز گرم و سرد شدن تشکیل شده است.

۱. فاز گرم شدن

$$\theta_g = ۱۳۲۵(1 - ۰/۳۲۴e^{-۰/۲t^*} - ۰/۲۰۴e^{-۱/۲t^*} \\ ۰/۴۷۲e^{-۱۹t^*}) + ۲۰ \quad (۱)$$

که در آن، t^* به صورت رابطه ۲ تعریف می شود:

$$t^* = t \cdot \Gamma \quad (۲)$$

که در آن، Γ به صورت رابطه ۳ محاسبه می شود:

$$\Gamma = \left(\frac{O}{b} \right)^r + \left(\frac{۰/۰۴}{۱۱۶۰} \right)^r \quad (۳)$$

که در آن، O و b مطابق روابط ۴ و ۵ تعریف می شوند:

$$O = \frac{A_v}{A_t} \sqrt{h_{eq}} \quad (۴)$$

$$b = \sqrt{\rho c \lambda} \quad (۵)$$

همچنین h_{eq} مطابق رابطه ۶ محاسبه می شود:

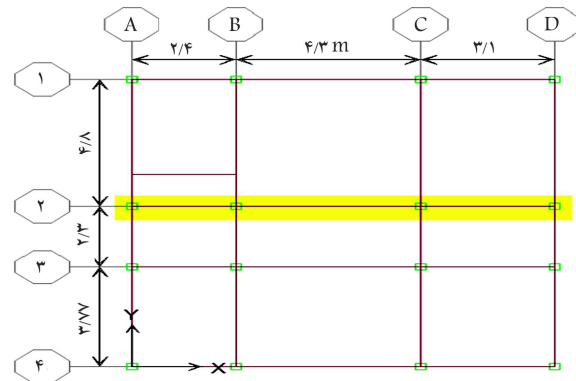
$$h_{eq} = \frac{h_w L_w + h_d L_d}{L_w + L_d} \quad (۶)$$

که در آن ها، O ضریب بازشو برابر با $۱۰/۸$ ، b اینرسی گرمایی مزبخش برابر با $۷/۱۴$ بدست آمده است. همچنین A_v برابر با $۷/۹$ مترمربع مساحت کل بازو های قائم بر روی تمامی دیوارها، A_t مساحت کل محیط تحت حریق ۴ مترمربع، h_{eq} میانگین وزنی ارتفاع بازو های دیوار برابر با $۲/۰۸$ ، c چگالی مصالح اتاق ک حریق ۶۰۰ کیلوگرم بر مترمکعب، ρ گرمای ویژه ۱۷۰۰ و λ رسانایی حرارتی مصالح اتاق ک حریق برابر با $۵/۰$ و L_w و L_d و L_v به ترتیب طول بازو های پنجره و در هستند که برابر با $۱/۵$ و ۱ فرض شده اند.

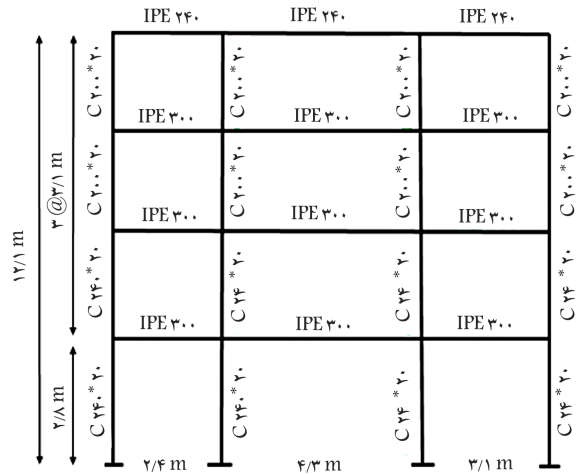
۲. طراحی اولیه و مدل سازی در OpenSees

مدل استفاده شده در نوشتار حاضر، برای تحلیل های آتش سوزی و لرزه بی، یک قاب میانی ساختمان ۴ طبقه ای فولادی با سیستم سازه بی قاب خمشی معمولی و با ابعاد پلان $۹/۸ \times ۱۰/۸$ مترمربع و ارتفاع طبقات $۱/۳$ متر بوده است که براساس ویرایش سوم مبحث دهم مقررات ملی ساختمان ایران و استاندارد ۲۸۰۰ به روش استاتیکی معادل طراحی شده است (ابعاد پلان در شکل ۱ و مقاطع اعضاء قاب در شکل ۲ مشاهده می شود). کاربری سازه، مسکونی بوده و بارهای زنده و مرده ای طبقات، با درنظر گرفتن سربار معادل تیغه ها به ترتیب ۲۰۰ و ۷۳۵ کیلوگرم بر مترمربع و بارهای زنده و مرده ای بام به ترتیب ۱۵۰ و ۶۱۵ کیلوگرم بر مترمربع در نظر گرفته شده اند.^[۱۷]

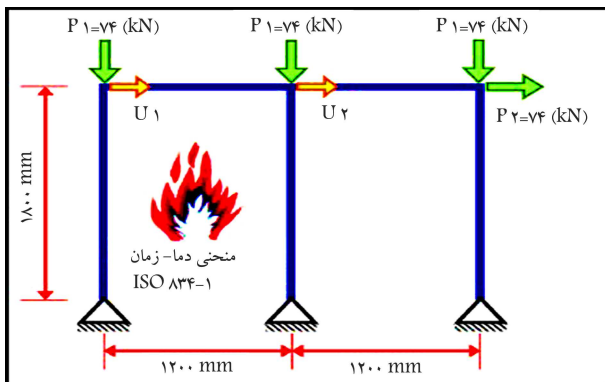
ساختمان در شهر تهران با خطر لرزه بی نسبی خیلی زیاد و بر روی خاک نوع II قرار گرفته و در نرم افزار ETABS^{۹، ۷، ۴} به صورت سه بعدی مدل سازی شده و پس از اعمال بارگذاری ثقلی و جانبی براساس ویرایش سوم مبحث دهم مقررات ملی ساختمان طراحی و مقاطع اعضا به دست آمده است. مقاطع تیرها به صورت I شکل و مقاطع ستون ها به صورت قوطی های مربعی شکل در نظر گرفته شده اند. پای ستون ها در تراز پایه، گیردار فرض شده و از اندرکنش خاک - فونداسیون - سازه چشم پوشی شده است. پس از طراحی سازه و نهایی شدن مقاطع آن، قاب میانی



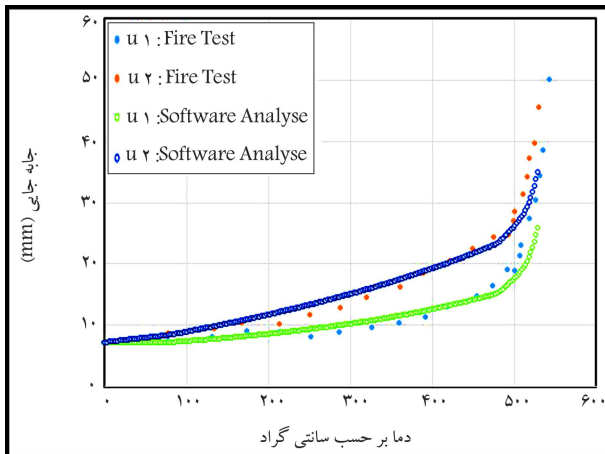
شکل ۱. پلان ساختمان ۴ طبقه ای فولادی به همراه قاب مدل سازی شده در نرم افزار OpenSees



شکل ۲. ابعاد و مقاطع قاب بررسی شده با سیستم قاب خمشی.



شکل ۴. قاب مدل سازی شده در نوشتار (ZSR Frame)



شکل ۵. نمودار مقایسه‌ی نتایج آزمایشگاهی نوشتار با نتایج حاصل از نرم‌افزار OpenSees

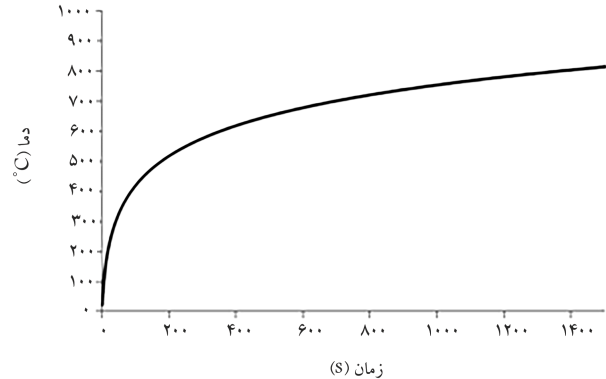
تیر - ستون حرارتی (DispBeam-Column Thermal) تقسیم شده‌اند. همچنین نیروهای متذكر P1 برابر ۷۴ کیلونیوتون و P2 برابر ۸۵/۲ کیلونیوتون در گرهی اتصال تیرها به ستون‌ها (مطابق شکل ۴) اعمال شده‌اند. سپس تیر و ستون‌های دهانه‌ی سمت چپ قاب تحت اثر منحنی آتش استاندارد ISO ۸۳۴ قرار گرفته و تحلیل حرارتی غیرخطی انجام شده است. اتصال تیر به ستون در قاب مورد نظر گیردار بوده است.

با رسم نمودار جابه‌جایی‌های U1 و U2 بدست آمده از تحلیل‌های نرم‌افزار بر حسب دما و مقایسه‌ی آن‌ها با نمودارهای حاصل از مدل سازی آزمایشگاهی مشاهده می‌شود (شکل ۵)، و نتایج حاصل از نرم‌افزار OpenSees اختلاف کمی با نتایج آزمایشگاهی داشته است که بیانگر دقیقت نرم‌افزار اخیر در انجام تحلیل‌های حرارتی است.

با توجه به آنکه تحلیل حرارتی نرم‌افزار تا دمای ۵۳° درجه سانتی‌گراد ادامه یافته است، ظرفیت محوری کاوش‌یافته‌ی ستون‌های تحت حرارت قاب ZSR را مطابق روابط بخش آتش AISCC۳۶۰-۱۶ در دمای ۵۳° درجه سانتی‌گراد محاسبه کرده و مقادیر آن با مقادیر نیروی محوری حاصل از نرم‌افزار برای هر یک از ستون‌ها در دمای مذکور مقایسه شده است (جدول ۲). با توجه به مقادیر اندک درصد اختلاف‌های به دست آمده در جدول اخیر تتجه گرفته می‌شود که بخش تحلیل حرارتی نرم‌افزار OpenSees نطبق خوبی با روابط بخش آتش آینین‌نامه‌ی AISCC۳۶۰-۱۶ داشته و با انجام تحلیل‌های

جدول ۱. مقادیر t_{lim} (از جدول ۱-۲ EN ۱۹۹۱-۱-۲)

نحوه رشد آتش	کاربری	$t_{lim}(\text{min})$
آزمایش	حمل و نقل (اماكن عمومي)	۲۵
مسکونی، بیمارستان (اتاق)، هتل (اتاق)، اداره، کلاس مدرسه	متوسط	۲۰
کتابخانه، مرکز خرید، تئاتر (سینما)	سریع	۱۵



شکل ۳. منحنی بار آتش براساس آینین‌نامه‌ی ISO ۸۳۴

۲. فاز سرد شدن

$$\theta_g = \theta_{\max} - 625(t^* - t_{\max,x}^*) \quad t_{\max}^* \leq 0/5h \quad (7)$$

$$\theta_g = \theta_{\max} - 250(3 - t_{\max}^*)(t^* - t_{\max,x}^*) \quad 0/5h < t_{\max}^* \leq 2h \quad (8)$$

$$\theta_g = \theta_{\max} - 250(t^* - t_{\max,x}^*) \quad t_{\max}^* > 2h \quad (9)$$

که در آن‌ها، θ_{\max} بیشینه‌ی دمایی است که در طول فاز گرم شدن بدست می‌آید و $(\theta_{\max} - t_{\max}^*)/\Gamma = t_{\max}^*$ به صورت رابطه‌ی ۱۰ تعریف می‌شود:

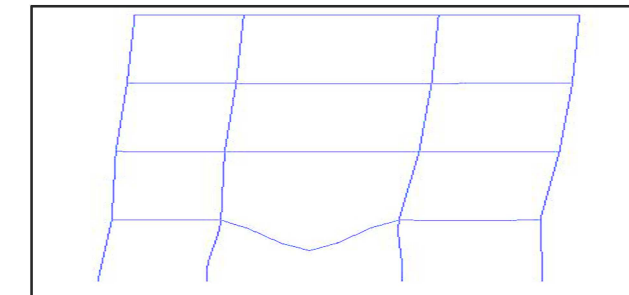
$$t_{\max} = \max \left[\frac{0/2 \times 10^{-3} q_{t,d}}{\Omega \Gamma}; t_{lim} \right] \quad (10)$$

که در آن، t_{lim} به نحو رشد آتش بستگی دارد. مقادیر t_{lim} در جدول ۱ ارائه شده است. منحنی ISO ۸۳۴ مطابق با رابطه‌ی ۱۱ به صورت یک تابع لگاریتمی با زمان افزایش می‌یابد، که در آن، t بر حسب دقیقه و T بر حسب درجه‌ی سانتی‌گراد هستند. منحنی بار آتش نیز در شکل ۳ مشاهده می‌شود.

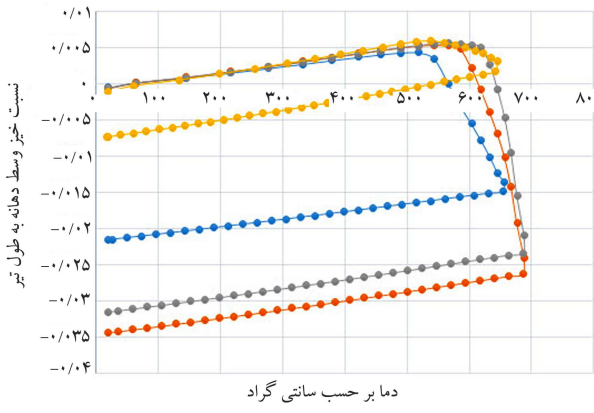
$$T = T_0 + 345 \log(8t+1) \quad (11)$$

۳. راستی آزمایی تحلیل‌های حرارتی

در راستی آزمایی انجام شده، از مدل آزمایشگاهی موجود در نوشتار را بر واسچامن ۱۹۸۶^{۱۱} استفاده شده است. مدل مذکور شامل یک قاب یک طبقه‌ی دو دهانه ZSR بوده است که مشخصات آن در شکل ۴ مشاهده می‌شود. تمامی مقاطعه تیرها و ستون‌ها به صورت فایبرهای حرارتی^{۱۲} و با ابعاد IPE80 و مصالح مصرفی آن‌ها برای جنس فولاد حرارتی از نوع Thermal Seel^{۱۳} بوده است. همچنین برای افزایش دقیقت تحلیل‌ها، هر یک از المان‌های تیر و ستون به ۴ المان کوچک‌تر از نوع



شکل ۶. تغییرشکل سازه پس از بارگذاری های ثقلی، حرارتی و لرزه‌یی در سناریو آتش ۱.



شکل ۷. نمودار نسبت خیز وسط دهانه به طول تیر برای تیرهای دهانه میانی در سناریوهای آتش ۱ و ۳ و ۵ و ۷ (اعداد منفی بیانگر خیز تیر به سمت بازیان است).

۵. نتایج تحلیل

برای بررسی نتایج تحلیل نرم افزار OpenSees، خروجی‌های خیز تیرها و تغییر مکان جانبی نسبی قاب مطالعه شده‌اند.

۱.۱.۵. حالت آتش‌سوزی پیش از زلزله

۱.۱.۵.۱. نمودار خیز تیرها با تغییرات دما

در شکل ۶، تغییرشکل سازه تحت اثر سناریوی آتش ۱ و بارگذاری جانبی مشاهده می‌شود. نتایج نشان می‌دهند که ابتدا در اثر افزایش دما، تیر تمایل به انبساط حرارتی و افزایش طول داشته است، اما سختی ستون‌های اطراف آن، جلوی این انبساط حرارتی را گرفته و باعث ایجاد تیروی محوری زیادی در تیر شده است. اما با افزایش بیشتر دما و کاهش مقاومت و مدول کشسانی فولاد، مقاومت تیر کاهش و خیز آن افزایش یافته است. همچنین به عنوان نمونه، نمودارهای خیز تیرها تحت سناریوهای آتش‌سوزی ۱ الی ۸ در شکل‌های ۷ و ۸ مشاهده می‌شوند. در این نمودارها خیز وسط تیرها به طول تیرها مقیاس شده‌اند. مطابق این نمودارها، تیرها تحت بار ثقلی و در دمای اولیه تحلیل دارای خیز در محدوده مجاز هستند. همچنین با توجه به این نمودارها در می‌باییم که ابتدا در اثر افزایش دما، و انبساط طولی تیر تحت حرارت و ممانعت از این انبساط توسط ستون نیروی محوری زیادی در تیر ایجاد می‌شود. این نیروی فشاری باعث تغییر شکل تیر به سمت بالا می‌شود. با افزایش بیشتر دما و کاهش سختی و مقاومت فولاد، خیز تیر به سمت پائین تغییر جهت می‌دهد.

جدول ۲. مقایسه‌ی مقادیر ظرفیت محوری کاهش‌یافته‌ی ستون‌ها با مقادیر نیروی محوری به دست آمده از نرم افزار OpenSees.

توضیحات	ستون
وسط	اول از سمت چپ
ظرفیت محوری کاهش‌یافته‌ی ستون در دمای $53^{\circ}C$ از روابط بخش آتش AISI ۳۶۰-۱۶	$70.581N$ $72.143/4N$
نیروی محوری ستون در دمای $53^{\circ}C$ (خروجی نرم افزار OpenSees)	$74.539/3N$ $79.157/9N$
درصد اختلاف نیروی محوری ستون با ظرفیت محوری کاهش یافته‌ی آن در دمای $53^{\circ}C$	$%.5/6$ $%.9/7$

حرارتی با نرم افزار OpenSees، نتایج خوب و قابل استنادی به دست آمده است.

۴. سناریوهای آتش تحلیل‌های حرارتی

در بخش حاضر، ۱۰ سناریوی آتش‌سوزی (نحوه‌ی اعمال آتش به دهانه‌های مورد نظر) به این صورت در نظر گرفته شده است.

سناریو ۱: تیر و ستون‌های دهانه‌ی میانی طبقه‌ی اول،

سناریو ۲: تیر و ستون‌های دهانه‌ی سمت راست طبقه‌ی اول،

سناریو ۳: تیر و ستون‌های دهانه‌ی میانی طبقه‌ی دوم،

سناریو ۴: تیر و ستون‌های دهانه‌ی سمت راست طبقه‌ی دوم،

سناریو ۵: تیر و ستون‌های دهانه‌ی میانی طبقه‌ی سوم،

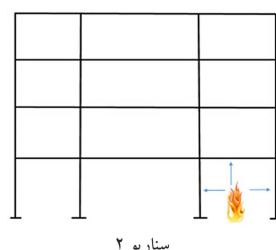
سناریو ۶: تیر و ستون‌های دهانه‌ی سمت راست طبقه‌ی سوم،

سناریو ۷: تیر و ستون‌های دهانه‌ی میانی طبقه‌ی چهارم،

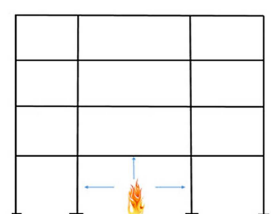
سناریو ۸: تیر و ستون‌های دهانه‌ی سمت راست طبقه‌ی چهارم،

سناریو ۹: تیر و ستون‌های دهانه‌های میانی و سمت راست طبقه‌های اول و دوم،

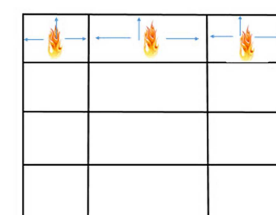
سناریو ۱۰: کلیه‌ی تیر و ستون‌های طبقه‌ی چهارم.



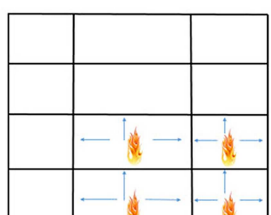
سناریو ۲



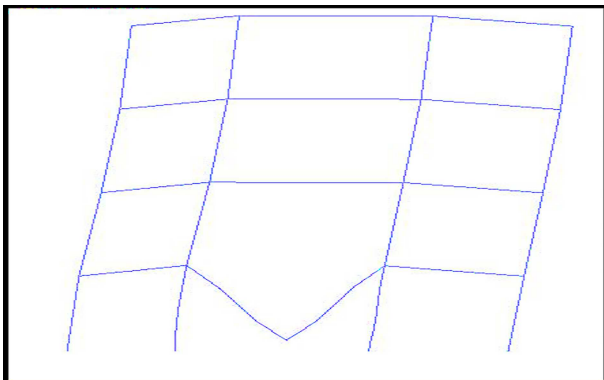
سناریو ۱



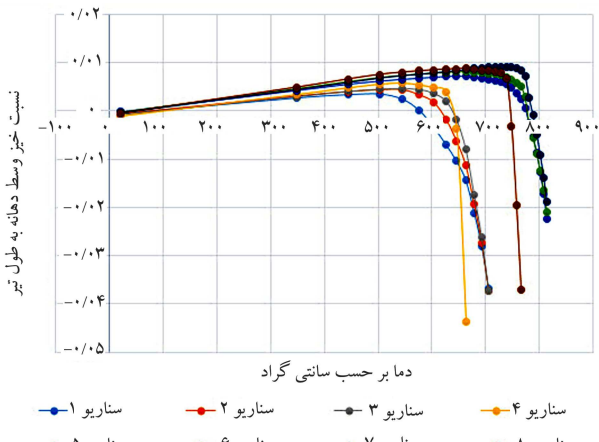
سناریو ۱۰



سناریو ۹



شکل ۱۰. تغییرشکل سازه پس از بارگذاری های ثقلی، لرزه بی، و حرارتی در ستاریو آتش ۱.



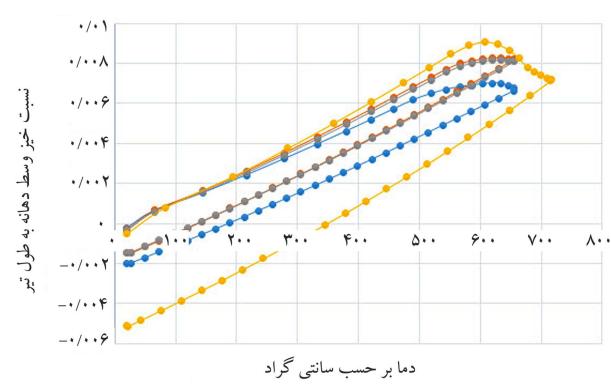
شکل ۱۱. مقایسه نمودار نسبت خیز وسط دهانه به طول تیر برای تیرهای ستاریوهای آتش ۱-۳-۵-۷ (۲-۴-۶-۸).

است، که مربوط به آتش سوزی دهانه میانی قاب است. لذا در بیشتر ستاریوهای سازه پس از آتش سوزی به خوبی بار جانبی را تحمل و سطح عملکرد اینمی جانبی را تأمین می کند.

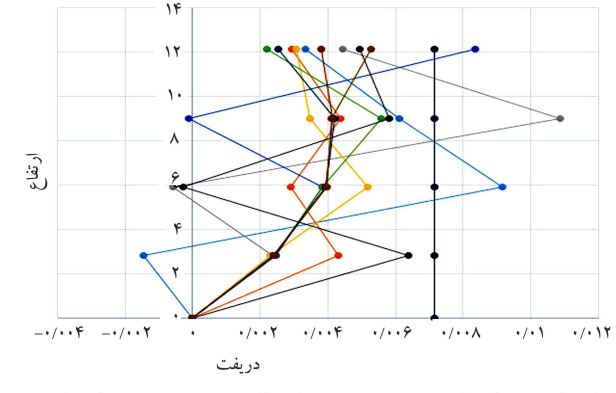
۲.۵. حالت آتش سوزی پس از زلزله

۲.۵. ۱. نمودار خیز تیرها با تغییرات دما

در شکل ۱۰، تغییرشکل سازه پس از بارگذاری جانبی و به دنبال آن، ستاریو آتش ۱ مشاهده می شود. در ستاریو ۱، تیر و ستون های دهانه میانی قاب در طبقه ای اول تحت اثر آتش و سایر اعضاء در دمای محیط قرار گرفته اند. نتایج نشان می دهدن تیرهایی که تحت حرارت نبوده اند، با افزایش دما و انبساط اعضاء تحت حرارت، چهار خیز مثبت شده و با کاهش دما و رسیدن به دمای محیط، به خیز اولیه به هنگام بارگذاری ثقلی رسیده اند. برای تیر تحت حرارت شرایط متفاوت است؛ در ابتدا، با افزایش دما و انبساط طولی تیر، نیروی محوری - فشاری باعث ایجاد خیز مثبت شده است، اما با رسیدن دما به مقدار ۵۵۰ درجه سانتی گراد، به دلیل کاهش سختی و مقاومت فولاد و وجود بار ثقلی، خیز تیر به سمت پایین حرکت کرده و با شدت زیادی تا دمای ۷۰۰ درجه سانتی گراد ادامه پیدا کرده است. همچنین نمودارهای خیز تیرها با تغییرات دما برای ستاریوهای آتش ۱ الی ۸ در شکل ۱۱ مشاهده می شود، که در آن ها، خیز وسط دهانه به



شکل ۸. نمودار نسبت خیز وسط دهانه به طول تیر برای تیرهای دهانه می سمت راست در ستاریوهای آتش ۲، ۴، ۶ و ۸ (اعداد منفی بیانگر خیز تیر به سمت پایین است).



شکل ۹. نمودار تغییر مکان جانبی نسبی قاب برای ستاریوهای آتش ۱ الی ۱۰.

با مقایسه ستاریوهای آتش (۱-۳-۵-۷) و (۲-۴-۶-۸) مشاهده می شود که در تیرهای با دهانه های بلند، خیز به مرتب بیشتر از دهانه های کوچک است؛ دلیل این امر سختی خمیشی کمتر تیرهای با طول بلند نسبت به تیرهای با دهانه کوچک است. در تمام ستاریوهای تأثیر بارگذاری لرزه بی بر خیز تیرها، بسیار ناچیز است. (تأثیر کمتر از ۲ درصد)

۲.۱.۵. نمودار تغییر مکان جانبی نسبی قاب

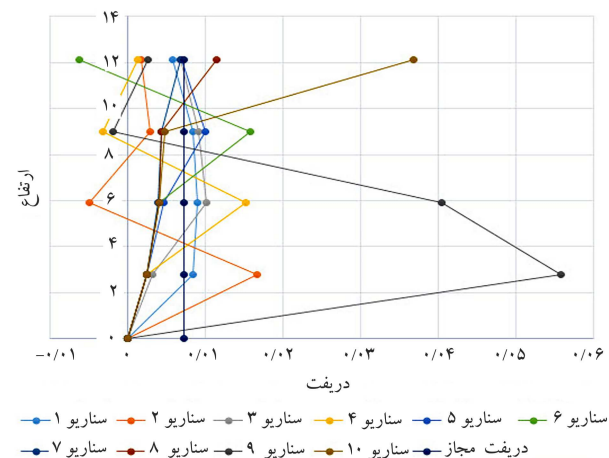
نتایج تغییر مکان جانبی نسبی در تمام ستاریوها در شکل ۹ مشاهده می شود که مطابق با نمودارهای تغییر مکان جانبی نسبی در ستاریوهای (۱-۳-۵-۷) مشاهده می شود که در طبقه ای که دهانه های میانی تحت آتش قرار گرفته اند، تغییر مکان جانبی نسبی طبقه کاهش و در طبقه ای بالای آن تغییر مکان جانبی نسبی به شدت افزایش داشته است؛ علت این موضوع رفتار کابلی تیرهای تحت حرارت به دلیل کاهش سختی و مقاومت و تشکیل مفاصل خمیری در آن ها در دمای بالا و همچنین وجود بار ثقلی است، که باعث جابه جایی بالای ستون های طبقه به سمت داخل قاب می شود. این مفاصل خمیری تشکیل شده منجر به کاهش سختی طبقه و افزایش شدید تغییر مکان جانبی نسبی در طبقه ای بالای آن می شود. فقط در ۳ ستاریو مقدار تغییر مکان جانبی نسبی، از مقدار مجاز استاندارد ۲۸۰° تجاوز کرده

درجه سانتی‌گراد است، اما مقدار تغییر مکان جانبی نسبی از مقدار مجاز بیشتر است.

۶. نتیجه‌گیری

در نوشتار حاضر، ابتدا یک ساختمان ۴ طبقه با سیستم سازه‌ی قاب خمشی معمولی براساس ویرایش سوم مبحث ششم مقررات ملی ساختمان ایران و استاندارد ۲۸۰ برای بارهای ثقلی و جانبی به روش استانیکی معادل طراحی و سپس یکی از قاب‌های سازه، در راستای شرق - غرب پلان در نرم‌افزار OpenSees مدل شده است. پس از مدل‌سازی، قاب در دو حالت آسیب‌دیده در آتش پیش از زلزله و آتش‌سوزی پس از زلزله بررسی شده است. در هر ۱۰ حالت سناریو، آتش در دهانه‌ها و طبقات مختلف اعمال شده و نتایج تحلیل‌های ثقلی، لرزه‌ی و حرارتی به دست آمده‌اند. نتایج پژوهش حاضر نشان می‌دهد که در حالت آتش‌سوزی پیش از زلزله، در صورتی که سازه پیشینه‌ی دمایی که طبق منحنی EuroCode ۱ در سناریوهای مختلف آتش‌سوزی تجربه کرده است، در محدوده ۶۰۰-۷۵۰ درجه سانتی‌گراد باشد، پس از بارگذاری لرزه‌ی پایدار خواهد بود. در اغلب سناریوهای تغییر مکان جانبی نسبی سازه پس از بارگذاری لرزه‌ی در محدوده مجاز قرار دارد، لذا سازه پس از آتش‌سوزی و تجربه‌ی دمایی در محدوده ۶۰۰-۷۵۰ درجه سانتی‌گراد، توانسته است بخشی از سختی و مقاومت از دست رفته‌ی خود را برای مقابله با بارهای جانبی در دمای محیط باز یابد. نمودارهای نسبت خیز تیرها به طول آن‌ها بر حسب دما نشان می‌دهند از دمایی حدود ۶۰۰ درجه سانتی‌گراد با کاهش سختی و مقاومت فولاد، خیز تیرها به سمت پایین به سرعت افزایش یافته است. افزایش اخیر خیز در دهانه‌های بلند به دلیل سختی خمشی کمتر نسبت به دهانه‌های کوچک شدیدتر بوده است. در حالت آتش‌سوزی پس از زلزله، نتایج پژوهش حاکی از آن است که پیشینه‌ی دمای پایداری، طبق منحنی ISO ۸۳۴ پس از بارگذاری لرزه‌ی در سناریوهای مختلف آتش‌سوزی در محدوده ۶۰۰-۸۵۰ درجه سانتی‌گراد قرار داشته است؛ لذا نز مقاومت در برابر آتش در سناریوهای مختلف ۹ الی ۲۵ دقیقه بوده است. در بیشتر سناریوهای، تغییر مکان جانبی نسبی سازه پس از بارگذاری حرارتی از محدوده مجاز تجاوز کرده است.

با توجه به تغییر مکان جانبی سازه پس از بارگذاری لرزه‌ی و وجود بارهای ثقلی، پس از آتش‌سوزی و کاهش سختی و مقاومت اعضا تحت حرارت، سازه دچار تغییر مکان جانبی نسبی زیادی به خصوص در طبقات تحت آتش شده است. نمودارهای نسبت خیز تیرها به طول آن‌ها بر حسب دما نشان می‌دهند از دمایی حدود ۶۰۰-۷۵۰ درجه سانتی‌گراد با کاهش سختی و مقاومت فولاد، خیز تیرها به سمت پایین به سرعت افزایش یافته است. در دهانه‌های بلند به دلیل سختی خمشی کمتر، افزایش خیز نسبت به دهانه‌های کوچک، بیشتر و در دمای پایین‌تر رخ داده است.



شکل ۱۲. نمودار تغییر مکان جانبی نسبی قاب برای سناریوهای آتش ۱ الی ۱۰

طول تیرها مقیاس شده‌اند. مشاهده می‌شود که در تمام سناریوهای، ابتدا در اثر افزایش دما، تیر تحت حرارت تمایل به انبساط طولی داشته است، اما به دلیل اتصال‌های گیرنده تیر به ستون قاب مذکور، جلوی این افزایش طول گرفته شده و نیروی محوری فشاری زیادی در تیر ایجاد شده است، که باعث خیز تیر به سمت بالا شده است. با افزایش بیشتر دما و کاهش سختی و مقاومت فولاد و وجود بارهای ثقلی، خیز تیر به سمت پایین افزایش یافته است، تا جایی که ظرفیت باربری خود را از دست داده است. از مقایسه‌ی سناریوهای آتش ۱-۳-۵-۷(۱-۳-۵-۷) و (۲-۴-۶-۸) نتیجه گرفته می‌شود که در تیرهای با دهانه‌های بلند، خیز به مراتب بیشتر از دهانه‌های کوچک است و در دمای کمتری که تقریباً ۶۰۰ درجه سانتی‌گراد است، حرکت به سمت پایین شروع شده است؛ در حالی که دمای اخیر برای دهانه‌ی کوچکتر تقریباً ۷۵۰ درجه سانتی‌گراد بوده است. عمل پدیده‌ی اخیر سختی خمشی بالای تیرهای با دهانه‌ی کوتاه نسبت به تیرهای با دهانه‌ی بلند است.

۲.۵. نمودار تغییر مکان جانبی نسبی قاب

نتایج تغییر مکان جانبی نسبی قاب برای سناریوهای آتش ۱ الی ۱۰ در شکل ۱۲ مشاهده می‌شود. نتایج نشان می‌دهند که در سناریوهای (۱-۳-۵-۷)، در طبقاتی که دهانه‌های میانی تحت آتش قرار گرفته‌اند، سختی طبقه کاهش و تغییر مکان جانبی نسبی به شدت افزایش داشته است. همچنین در سناریوهای (۲-۴-۶-۸) نیز به دلیل فشار ناشی از انبساط طولی تیر و تشکیل مفصل خمیری پای ستون بیرونی دهانه‌ی سمت راست، افزایش تغییر مکان جانبی نسبی طبقه مشاهده می‌شود. در ۹ سناریو، مقدار تغییر مکان جانبی نسبی از مقدار مجاز تجاوز کرده است؛ لذا نتایج نشان می‌دهند که در شرایط آتش‌سوزی پس از زلزله، با توجه به اینکه دمای پایداری در سناریوهای مختلف آتش‌سوزی پس

پانوشت‌ها

1. Northridge

2. Kube
3. Hosam
4. Della Corte
5. Zaharia & Pineta

6. Fagfar
7. Pucinotti
8. Moradi
9. Suwondo
10. Khonsari
11. Rubert & Schaumann
12. Fiber Thermal

منابع (References)

1. Usmani, A.S., Drysdale, D.D. and et al. Lamont, S. "Behaviour of steel framed structures under fire conditions", Main Report, University of Edinburgh, Edinburgh (2000).
2. Ali, H.M., Senseny, P.E. and Alpert, R.L. " Lateral displacement and collapse of single-story steel frames in uncontrolled fire", *Engineering Structures*, **26**(5), pp. 593-607 (2004).
3. Della Corte, G., Faggiano, G. and Mazzolani, F. "On the structural effects of fire following earthquake", *COST C12 Final Conference Proceedings*, Innsbruck, Austria (2005).
4. Zaharia, R. and Pintea, D. "Fire after earthquake analysis of steel moment resisting frames", *International Journal of Steel Structures*, **9**, pp. 275-284 (Dec 2009).
5. Behnam, B. and Ronagh, H.R. "Behavior of moment-resisting tall steel structures exposed to a vertically traveling post-earthquake fire", *The Structural Design of Tall and Special Buildings*, **23**(14), pp. 1083-1096 (2014).
6. Kazemi, S. and Homami, P. "Design based on the performance of steel moment frame buildings with regard to post-earthquake fire", M.Sc. Thesis, Faculty of Engineering, Kharazmi University (Feb., 2016).
7. Pucinotti, R., Bursi, O.S. and Demonceau, J.F. "Post-earthquake fire and seismic performance of welded steel-concrete composite beam-to-column joints", *Journal of Constructional Steel Research*, **67**(9), pp. 1358-1375 (2011).
8. Moradi, M., Tavakoli, H.R. and Abdollahzadeh, Gh. "Comparison of steel and reinforced concrete frames' durability under fire and post-earthquake fire Scenario", *Civil Engineering Infrastructures Journal*, **54**(1), pp. 145-168 (2021).
9. Suwondo, M., Gillie, M. and Cunningham, L. B. "Effect of earthquake damage on the behaviour of composite steel frames in fire", *Advances in Structural Engineering*, **21**(16), pp. 2589-2604 (2018).
10. Abdollahzadeh, G.R. and Shalikar, R. "Retrofitting of steel moment-resisting frames under fire loading against progressive collapse", *International Journal of Steel Structures*, **17**(4), pp. 1597-1611 (2017).
11. Khonsari, S.V., Vosough Grayli, P., Ghorbani, A. and et al. "Behaviour of end-plate connections in 3D frames under fire conditions: Experimental study", *International Journal of Steel Structures*, **18**(3), pp. 734-749 (2018).
12. Iranian Building Codes And Standards, "Iranian code of practice For Seismic Resistant Design Of Buildings", Standard No. 2800, 3th Edition (2005).
13. Iranian National Building Code, Part 10th , "Design and Construction of steel buildings", (2005).
14. Mazzoni, S., McKenna, F., Scott, M.H. and et al. "OpenSees version 2.4.5 user manual", Pacific Earthquake Engineering Research Center (PEER), University of California, Berkeley (2009).
15. Eurocode 3, "Design of steel structures, part 1-2: General rules, structural fire design", EN 1993-1-2 European Committee for Standardization, CEN (2005).
16. ISO 834-2, "Fire-resistance tests-elements of building construction" (2019).
17. Rubert, A. and Schaumann, P. "Structural steel and plane frame assemblies under fire action", *Fire Safety Journal*, **10**, pp. 173-184 (1986).